

秋田大学 正員 ○ 石井 千万太郎
 正員 佐藤 光吾
 川田工業(株) 正員 古村 荘

I) まえがき 浮遊砂の拡散過程は(1)式の拡散方程式を用いて計算されらが、式中の拡散係数として、どのような式形や値を用いたらが最も重要である。本研究では Lagrange 的解析法の one particle analysis の結果を、一様 2 次元開水路水流での浮遊砂の拡散に拡張し、ここ十数年来、研究が進められてきた開水路におけるそれらの研究の成果を用いて、時間の関数となる拡散係数のモデルを得てある。さらに、このモデルと従来の拡散係数を用いて、拡散の初期の段階における拡散過程を数值計算して比較を行った。

$$\frac{\partial C}{\partial t} + (v - v_0) \operatorname{grad} C = \operatorname{div} (E_D \operatorname{grad} C) \quad (1) \quad \begin{array}{l} C: \text{浮遊砂濃度} \\ v: \text{流体速度ベクトル} \\ v_0: \text{浮遊砂} \\ E_D: \text{乱流拡散係数} \\ u: \text{次降速度ベクトル} \\ \text{Euler: テンソル} \end{array}$$

II) 乱流拡散係数 E_D について ^{1), 2)} (1)式の拡散係数テンソルは、その主軸方向が x , y , z 軸方向 (x : 流れ方向, y : 水深方向, z : 橫断方向) と一致すること、(2)式で表わされる。ここで、開水路 2 次元流れの E_{Dy} については、Reynolds のアノロジーを用い、乱流拡散係数が渦動粘性係数 ϵ_{my} に比例するとの仮定のもとに(3)式が得られている。
 $E_{Dy} = \beta \epsilon_{my} = \beta (-\overline{uv} / \overline{dy} / dy) = \beta x_2 (1 - \gamma) v_* h \quad (3) \quad \text{ただし } \gamma = y/h \quad (h: \text{水深})$

一方、Lagrange 的解析法の one particle analysis から、一様等方性の乱れにおいて、拡散係数が次式のようく定義される。
 $E_D = \overline{v_{SL}^2} \int_0^t R_{SL}(s) ds \quad (4) \quad (v_{SL}: \text{浮遊砂粒子の変動速度})$ 式中の Lagrange の相關関数として、
 $t_{os} = \int_0^\infty R_{SL}(s) ds \quad (5)$ をパラメータとする指數関数形 $R_{SL}(s) = \exp(-s/t_{os}) \quad (6)$ を用いると、(4)式は次式となる。
 $E_D = \overline{v_{SL}^2} t_{os} \{ 1 - \exp(t/t_{os}) \} \quad (7)$

この結果を、非一様異方性の開水路 2 次元流れに拡張すると（ z 軸方向の拡散は考えない）

$E_{Dx} = \overline{v_{SLx}^2} (7) t_{osx} (7) \{ 1 - \exp(t/t_{osx} (7)) \}, \quad E_{Dy} = \overline{v_{SLy}^2} (7) t_{osy} (7) \{ 1 - \exp(t/t_{osy} (7)) \} \quad (8)$
 とおがれる。ここで、一般に、浮遊砂粒子の変動速度 v_{SLx} , v_{SLy} が流体粒子の変動速度 v_x , v_y に等しいとおかれることから、流れの乱れの特性量 $\overline{u^2}$, $\overline{v^2}$ と t_{os} , t_{oy} (平均時間スケール) の分布がわからず乱流拡散係数が得られることになる。しかししながら、これらの特性量は Lagrange 的特性量であり、Euler 的特性量に比し、その測定例が少ないため、(9)式で示される Euler 的特性量の普遍関数表示を得て後に、Lagrange 的特性量への変換を(10)式を用いて行なう。
 $u_e / u_* = \phi_{ue} (7), \quad v_e / u_* = \phi_{ve} (7), \quad \overline{u_e T_e} / h = \phi_{Te} (7) \quad (9) \quad ^3)$
 $u_e - u'_e = u', \quad v_e - v'_e = v', \quad T_e = \alpha (\overline{u_e} / u'_e) T_e \quad (10)$

(9), (10)式から、Lagrange 的平均時間スケールの分布形が得られるが、これは、流れ方向の平均時間スケール T_{Lx} であることに注意しなければいけない。また水深方向の平均時間スケール T_{Ly} については、実測の資料がないため、水深方向の時間スケールを流れ方向の時間スケールと比例すると仮定する。(r: 比例定数) 以上から

$$\left. \begin{aligned} E_{Dx} / u_* h &= \alpha \{ \phi_{ue} (7) \}^2 (u_* T_{Lx} / h) \left\{ 1 - \exp \left\{ - \frac{(u_* t / h)}{(u_* T_{Lx} / h)} \right\} \right\} \\ E_{Dy} / u_* h &= \alpha' \{ \phi_{ve} (7) \}^2 (u_* T_{Ly} / h) \left\{ 1 - \exp \left\{ - \frac{(u_* t / h)}{(u_* T_{Ly} / h)} \right\} \right\} \end{aligned} \right\} - (11) \quad (\alpha' = \alpha \times r)$$

$$u_* T_{Lx} / h = \alpha \phi_{Te} (7) / \phi_{ue} (7), \quad u_* T_{Ly} / h = \alpha' \phi_{Te} (7) / \phi_{ve} (7) \quad \text{が得られる。}$$

III) 拡散係数のモデル化 (11)式から、 $t / t_{Lx, y} \gg 1$ のときの拡散係数 E_{Dx}, E_{Dy} はそれぞれ

$E_{Dx} / u_* h = \alpha \phi_{ue} (7) \phi_{Te} (7) \quad (12), \quad E_{Dy} / u_* h = \alpha' \{ \phi_{ve} (7) \}^2 \phi_{Te} (7) / \phi_{ue} (7) \quad (13)$ で計算されるが、式中の $\phi_{Te} (7) = \overline{u_e T_e} / h$ については、図-1 に示されるように、実測値にばらつきが大きく、そ

の関数形を決定するこど困難である。そこで、ここでは拡散係数 E_{Dy0} として、(3)式で $\beta = 1.0$ として得られる分布形と、Richardson & McQuivey⁴⁾ の実測値に Yalin⁵⁾ が推定して得られたそれの強さの分布形(図-2)を用いて $\alpha'_c(t)$ を逆算した。その結果が図-1に示されているが、 $\alpha'_c = 0.1$ として得られた分布形がほぼ実測値を満足すると思われる。また水深方向の拡散係数 E_{Dy0} が(3)式で与えられるとし、さらに $r = T_{Ly}/T_{Lx} = 1$ を仮定すると、流れ方向の拡散係数 E_{Dx0} および時間スケール T_{Lx}, T_{Ly} は次式から計算される。 E_{Dy0} と E_{Dx0} の計算結果を図-3に示す。

$$E_{Dx0}/u_* h = \left\{ \frac{u_{*Lx}}{u_{*Ly}} / \frac{\alpha'_c(t)}{\alpha'_c(t)} \right\}^2 \left(\frac{E_{Dy0}}{u_* h} \right) \quad (14)$$

$$u_* T_{Lx}/h = u_* T_{Ly}/h = \left(\frac{E_{Dy0}}{u_* h} \right) / \left[\frac{\alpha'_c(t)}{\alpha'_c(t)} \right]^2 \quad (15)$$

したがって、(15)式から T_{Lx}, T_{Ly} が得られると、拡散係数 E_{Dx0} が時間的に変化する状態が(11)式から計算される。図-4 には計算された $t = 0$ からの拡散係数 E_{Dy} の時間的变化を示している。

IV) 計算および結果 一様2次元せん断流では(1)式は次式となる。

$$\frac{\partial C}{\partial t} + \bar{u}_e \frac{\partial C}{\partial z} = \frac{\partial}{\partial y} \left(E_{Dy} \frac{\partial C}{\partial y} \right) + v_0 \frac{\partial C}{\partial y} + E_{Dx} \frac{\partial^2 C}{\partial z^2} \quad (16)$$

計算は上式に Anis Moment Transformation を導入した式を用い^{6), 7)}、数値計算を行っている。湧源については、瞬間面源および線源の各々の場合について、拡散係数を(11)式とおいた場合と、 $E_{Dy} = E_{Dy0}$ 、 $E_{Dx} = E_{Dx0}$ こおいた場合について比較計算を行っている。瞬間線源の結果の一部を図-5に示すが、拡散係数によら拡散初期の過程に有意な差が見られる。(計算は東北大 ACOS NEAC システム 700 を用いた。)

V) 参考文献

- 1) 橋東一郎：物理学 II (森北出版)
- 2) 岸 力：沖縄地河川の水理学序説(水工学に関する定期研修会講義集、1975)
- 3) 今本博健：開水路流れにおける乱れの基本的特性について (土壤学会論文集、No.1977)
- 4) R.S. McQuivey : Some turbulence measurement in open channel flow (Proc. ASCE Vol.95, HY3, 1969)
- 5) M.S. Yalin : Mechanics of Sediment Transport (Pergamon Press)
- 6) M.W. Sarey : Dispersion of silt particles in open channel flow (Proc. ASCE Vol.95, HY3, 1969)
- 7) 大場・石井：土学会東北支部技術研究会発表講義概要(昭和50年度)

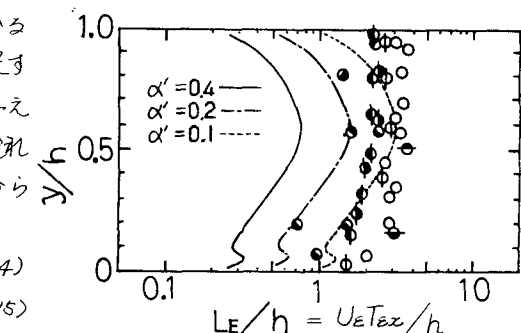
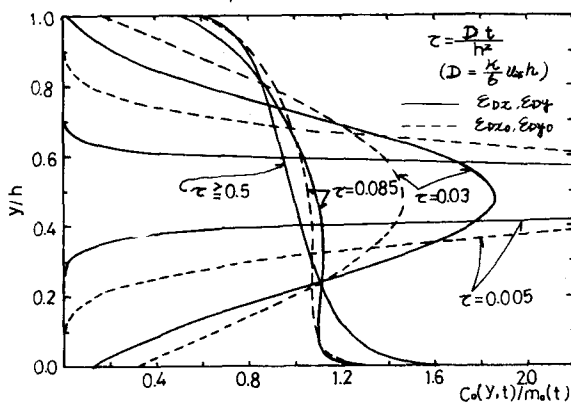


図-1 流れ方向の平均スケール ³⁾

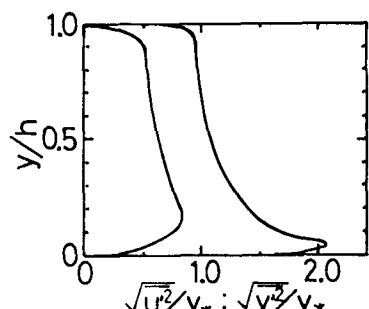


図-2 乱れの強さ ^{4), 5)}

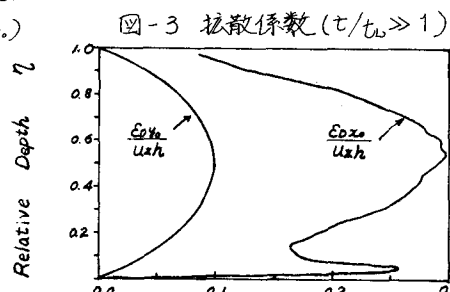


図-3 拡散係数 ($t/t_0 \gg 1$)

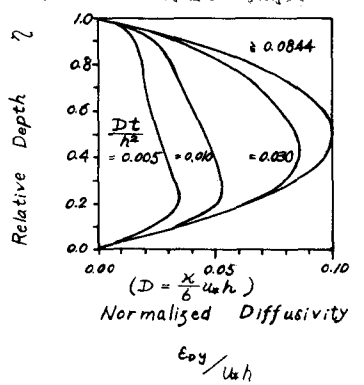


図-5 ^{6), 7)}
分布形の
時間変化
(線源)